

УДК 519.1

А. М. Магомедов

## Двудольные $(6, 3)_6$ -бирегулярные графы, не допускающие интервальной раскраски

Предложенный в статье алгоритм элиминации перебора свел задачу поиска нераскрашиваемого графа к построению дерева из 11645 узлов, из которых 2485 узлов – последнего уровня; узловые графы последнего уровня образуют искомое множество  $(6, 3)_6$ -графов  $M_0$ . Программа обнаружила среди них точно 62 нераскрашиваемых графа, а для  $n \leq 5$  выяснила раскрашиваемость всех графов из множеств – аналогов  $M_0$  для рассматриваемых  $n$ . Тем самым получено уточнение наименьшего  $n$ , для которого существует нераскрашиваемый  $(6, 3)_6$ -граф.

Библиография: 4 названий.

The proposed in the article search elimination algorithm reduced the problem of finding a non-colorable graph to building the tree of 11645 nodes, 2485 of which are last level nodes; graph nodes form the last level of the desired set of  $(6, 3)_6$ -graphs  $M_0$ . The program found among them just 62 non-colorable graph, and for  $n \leq 5$  found coloring of all graphs of the sets – analog  $M_0$  considered for  $n \leq 5$ . Thus obtained specification of least  $n$ , for which the non-colorable  $(6, 3)_6$ -graph exists.

Bibliography: 4 items.

**Ключевые слова:** двудольный граф, раскраска графа, теория расписаний.

**Keywords:** bipartite graph, graph coloring, job shop scheduling.

## Введение

В статье использованы обозначения и определения из книги [1]. *Интервальной* (реберной) *раскраской графа  $t$  цветами* будем называть отображение множества ребер графа в множество  $\{1, 2, \dots, t\}$ , такое, что: 1) для каждого  $i$ ,  $1 \leq i \leq t$ , найдется ребро, закрашенное в цвет  $i$ , 2) в каждой вершине графа все представленные в ней цвета попарно различны и образуют целочисленный интервал.

В [2] доказана  $NP$ -полнота задачи об интервальной (реберной) раскрашиваемости 6 цветами двудольного графа  $G = (X, Y, E)$ , где степени всех вершин  $X$  равны 6, а степени всех вершин  $Y$  равны 3. Такие графы будем называть  $(6, 3)$ -бирегулярными или, более кратко,  $(6, 3)$ -графами;  $(6, 3)$ -граф  $G = (X, Y, E)$ , где  $|X| = n$  (тогда  $|Y| = 2n$ ), будем называть  $(6, 3)_n$ -графом.  $(6, 3)$ -граф будем называть (не)раскрашиваемым, если он (не) допускает интервальной раскраски 6 цветами.

Из результата [2], в частности, следует существование нераскрашиваемых  $(6, 3)_n$ -графов. Приведенное в [2] принципиальное решение проблемы в настоящей статье дополнено уточнением наименьшего  $n$ , для которого существует нераскрашиваемый  $(6, 3)_n$ -граф. Более точно, доказана следующая теорема.

**ТЕОРЕМА 1.** *Для любого  $n \geq 6$  найдется нераскрашиваемый  $(6, 3)_n$ -граф. При  $n \leq 5$  каждый  $(6, 3)_n$ -граф раскрашиваем.*

## 1. Интервальная и гармоническая раскраски

Отображение множества ребер  $E$   $(6, 3)$ -графа  $G = (X, Y, E)$  в множество из двух цветов, такое, что в каждой вершине  $y \in Y$  все три инцидентных  $y$  ребра имеют одинаковые цвета, а каждой вершине  $x \in X$  инцидентны по три ребра каждого из двух цветов, будем называть *гармонической раскраской графа  $G$* .

Следующая лемма независимо (и в различных терминах) доказана в [2] и [3].

**ЛЕММА 1.** *Для раскрашиваемости  $(6, 3)$ -графа  $G$  необходимо и достаточно существование гармонической раскраски графа  $G$ .*

Простое арифметическое упражнение с применением системы компьютерной математики Mathematica 8.0 показывает, что метод полного перебора для проверки существования  $(6, 3)_n$ -графа, не допускающего гармонической раскраски, бесперспективен даже при  $n = 6$ . В самом деле, при  $n = 6$  полный перебор всех  $(6, 3)_n$ -графов, когда для каждой из шести вершин  $x \in X$  в списке смежности  $x$  независимо выбираются шесть вершин из  $Y$ , потребует рассмотрения громоздкого числа вариантов –  $C_{12}^6$  в шестой степени (через  $C_{12}^6$  обозначено сочетание из 12 по 6). Каждый способ выбора необходимо дополнить проверкой, является ли полученный граф  $(6, 3)_n$ -графом, а в случае положительного результата – также и проверкой существования гармонической раскраски, что в худшем случае потребует рассмотрения для каждого графа  $C_{12}^6$  случаев. Для компьютера, способного рассмотреть 1 млрд случаев в секунду, для вычислений может понадобиться

$$(C_1 2^6)^7 / (1000000000 \cdot 3600 \cdot 24 \cdot 365) \approx 18235 \text{ лет.}$$

## 2. Нераскрашиваемые $(6, 3)_n$ -графы

**2.1. Граф  $G_0$ ,  $(6, 3)$ -надграф которого не допускает гармонической раскраски.** Всюду в дальнейшем выберем значения цветов в определении гармонической раскраски равными  $+1$  и  $-1$ .

**ЗАМЕЧАНИЕ 1.** Тогда при любой гармонической раскраске: 1) для любой вершины  $x \in X$  сумма цветов ребер, инцидентных  $x$ , равна нулю (*свойство гармоничности для вершины  $x$* ); 2) следовательно, сумма цветов всех ребер графа также равна нулю.

Обозначим через  $G_0 = (X_0, Y_0, E_0)$  двудольный граф, где  $X_0 = \{x_1, x_2, x_3\}$ ,  $Y_0 = \{y_1, \dots, y_{12}\}$ , а множество ребер  $E_0$  задано списками смежности вершин множества  $X_0$ :  $x_1(y_1, y_2, y_3, y_4, y_5, y_6)$ ,  $x_2(y_1, y_2, y_3, y_7, y_8, y_9)$ ,  $x_3(y_1, y_2, y_3, y_{10}, y_{11}, y_{12})$  (рис.1а).



а) двудольный граф  $G_0 = (X_0, Y_0, E_0)$ ; б) двудольный граф  $G_1 = (X_1, Y_1, E_1)$ , пример 6-дополнения

Рис. 1.

**ЛЕММА 2.** Если  $(6, 3)$ -граф  $G = (X, Y, E)$  является надграфом для  $G_0$ , то  $G$  не допускает гармонической раскраски.

**ДОКАЗАТЕЛЬСТВО.** Допустим противное: пусть существует некоторая гармоническая раскраска  $c$  графа  $G$ . Цвет ребер, инцидентных вершине  $y_i \in Y$ , будем обозначать через  $c_i$ ,  $1 \leq i \leq 12$ . Выполнив почленное сложение равенств, выражающих свойство гармоничности для вершин  $x_1, x_2$  и  $x_3$  соответственно:

$$c_1 + c_2 + c_3 + c_4 + c_5 + c_6 = 0,$$

$$c_1 + c_2 + c_3 + c_7 + c_8 + c_9 = 0,$$

$$c_1 + c_2 + c_3 + c_{10} + c_{11} + c_{12} = 0,$$

получим:  $(c_1 + \dots + c_{12}) + 2(c_1 + c_2 + c_3) = 0$ .

Так как, согласно замечанию 1,  $c_1 + \dots + c_{12} = 0$ , то отсюда:  $c_1 + c_2 + c_3 = 0$ , что невозможно ввиду принадлежности  $c_1, c_2, c_3$  множеству  $\{-1, +1\}$ . Полученное противоречие доказывает, что гармоническая раскраска графа  $G$  не существует. Лемма доказана.

**2.2. Теорема о нераскрашиваемых  $(6, 3)$ -графах.** Пусть задано натуральное  $n$ ,  $n \geq 6$ . Любой двудольный граф  $G_1 = (X_1, Y_1, E_1)$ , где  $X_1 = \{x_4, x_5, \dots, x_n\}$ ,  $Y_1 = \{y_4, y_5, \dots, y_{2n}\}$ ,

$$d(y_4) = \dots = d(y_{12}) = 2, d(y_{13}) = \dots = d(y_{2n}) = 3, d(x_4) = \dots = d(x_n) = 6, \quad (2.1)$$

будем называть *дополнительным графом* (или – *дополнением*) для  $G_0$ .

В описанном ниже алгоритме построения дополнительного графа *текущие значения* степеней вершин  $v$  обозначены через  $D(v)$ , разности  $d(v) - D(v)$  названы *дефицитами* вершин  $v$ , а вершины с дефицитами, (не)равными нулю, названы *(не)насыщенными*.

#### Алгоритм построения дополнительного графа

**Вход:** граф  $G_0 = (X_0, Y_0, E_0)$ , натуральное  $n$ ,  $n \geq 6$ , списки  $d(y_4), \dots, d(y_{2n})$  и  $d(x_4), \dots, d(x_n)$  со значениями элементов, заданными в (2.1); элементы списков приобретут смысл степеней соответствующих вершин лишь после завершения алгоритма.

**Выход:** – дополнение для  $G_0$ .

1. **Инициализация:**  $X_1 := \{x_4, x_5, \dots, x_n\}$ ;  $Y_1 := \{y_4, y_5, \dots, y_{2n}\}$ ;  $D(v) := 0$  для всех  $v \in X_1 \cup Y_1$ ;

{Легко видеть, что после инициализации

- 1) *сумма дефицитов вершин каждого из множеств  $X_1$  и  $Y_1$  равна  $6n - 18$ ;*
- 2) *разность любых двух элементов следующего списка:*

$$d(y_4) - D(y_4), \dots, d(y_{2n}) - D(y_{2n}) \quad (2.2)$$

равна -1, 0 или 1 («свойство близости элементов списка»)

1. **Цикл:** **пока** в множестве  $X_1$  имеется ненасыщенная вершина  $x$ , соединить  $x$  рёбрами с каждой из шести вершин множества  $Y_1$ , имеющих наибольшие значения дефицитов

{проведение ребра сопровождается увеличением текущих степеней его концевых вершин}

**Конец алгоритма.**

**ЛЕММА 3.** Для любого заданного натурального  $n$ ,  $n \geq 6$ , алгоритм построения дополнительного графа генерирует – дополнение  $G_1 = (X_1, Y_1, E_1)$  для графа  $G_0$ .

**ДОКАЗАТЕЛЬСТВО.** Выполнение каждой итерации цикла уменьшает на единицу шесть наибольших элементов списка (2.2), что, очевидно, сохраняет свойство близости элементов списка. Отсюда следует, что пока дефицит хотя бы одной вершины множества  $Y_1$  превышает 1, дефицит любой из вершин  $Y_1$  не меньше 1.

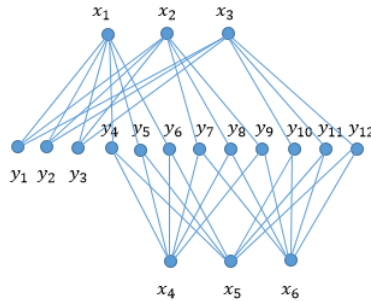


Рис. 2. Нераскрашиваемый  $(6,3)_6$ -граф  $G$

Последнее, ввиду очевидных соотношений:  $|Y_1| = 2n - 3$  и  $2n - 3 \geq 6$ , обеспечивает возможность насыщения очередной выбранной вершины  $x \in X_1$ .

Обозначим через  $k$  наименьший номер итерации, после выполнения которой дефицит каждой вершины множества  $Y_1$  равен 0 или 1. Тогда количество вершин  $Y_1$ , имеющих дефицит 1, равно, как легко видеть,  $6(n - 3) - 6k$ , а количество ненасыщенных вершин (с дефицитом 6 каждая) в множестве  $X_1$  составляет  $(n - 3) - 3$ . Выполнимость заключительных  $(n - 3) - k$  итераций цикла очевидна: каждая из них заключается в соединении ненасыщенной вершины множества  $X_1$  с шестью вершинами множества  $Y_1$ , дефициты которых равны 1. Лемма доказана.

**ЗАМЕЧАНИЕ 2.** Если частное и остаток от целочисленного деления  $2n - 12$  на 6 обозначить через  $p$  и  $q$  соответственно, то можно показать, что наименьший номер итерации  $k$ , после которой дефициты вершин  $Y_1$  не превышают 1, равен  $2p + 2$  (при  $q = 0$ ) или  $2p + 1$  (при  $q \neq 0$ ).

**ТЕОРЕМА 2.** Для любого  $n \geq 6$  существует  $(6,3)_n$ -граф  $G = (X, Y, E)$ , не допускающий гармонической раскраски.

ДОКАЗАТЕЛЬСТВО. В качестве графа  $G$  можно взять объединение  $G_0$  и его – дополнения  $G_1$ . Теорема доказана.

СЛЕДСТВИЕ 1. Для любого  $n \geq 6$  существует нераскрашиваемый  $(6, 3)_n$ -граф  $G = (X, Y, E)$ .

На рис.2 приведен  $(6, 3)_6$ -граф  $G$ , не допускающий гармонической раскраски (следовательно, граф  $G$  нераскрашиваем).

### 3. Элиминация перебора множества неизоморфных $(6, 3)_n$ -графов

**3.1. Дерево сокращенного перебора  $T$ . Начало построения.** Отметим, что граф  $G_0 = (X_0, Y_0, E_0)$ , сыгравший ключевую роль в доказательстве теоремы 2, был построен нами в результате компьютерных вычислений. Но если происхождение графа  $G_0$  для доказательства теоремы 2, составляющей первую часть утверждения теоремы 1, несущественно, то вторая часть утверждения теоремы 1 всецело получена «компьютерным» путем. В разделе 2 обсуждались трудности перебора  $(6, 3)_n$ -графов при  $n = 6$ ; проблема перебора сохраняет остроту и для значения  $n = 5$ , хотя вычислительные трудности не столь велики, как в случае  $n = 6$ . Изложим подход, который позволяет существенно сократить перебор.

Отношение изоморфизма разбивает множество  $M$  всех  $(6, 3)_n$ -графов на классы эквивалентности (классы попарно неизоморфных графов). Если  $M_0$  – подмножество множества  $M$ , включающее не менее одного представителя из каждого класса эквивалентности, то проверка существования нераскрашиваемого  $(6, 3)_n$ -графа сводится к аналогичной проверке для графов из  $M_0$ .

ЗАМЕЧАНИЕ 3. Сложность построения множества  $M_0$ , включающего из каждого класса эквивалентности точно одного представителя, объясняется трудностью задачи об изоморфизме графов, которая была опубликована в [4] как «открытая» задача, относительно которой неизвестно, является ли она  $NP$ -полной. Насколько нам известно, за истекшие четыре десятилетия успех в решении проблемы не достигнут.

Обозначения:  $X = \{x_0, x_1, \dots, x_{n-1}\}$ ,  $Y = \{y_0, y_1, \dots, y_{2n-1}\}$ ;

$X_i = \{x_0, x_1, \dots, x_i\}$ ,  $0 \leq i \leq n-1$ ;  $Y_j = \{y_0, y_1, \dots, y_j\}$ ,  $0 \leq j \leq 2n-1$ .

Построение множества  $M_0$  опишем в виде процесса построения корневого дерева  $T$  глубины  $n-1$ , узлы которого представлены графами (в дальнейшем – «узловые графы»):

а) каждый узел  $V$  последнего,  $(n-1)$ -го уровня представлен некоторым  $(6, 3)_n$ -графом  $G = G_{n-1}^V$ , а множество  $M_0$  определяется как множество всех узловых графов  $(n-1)$ -го уровня;

б) каждый узел  $v$  уровня  $i-1$ , принадлежащий пути от корня к вершине последнего уровня  $V$ , представлен порожденным на множестве вершин  $X_{i-1} \cup Y$  подграфом  $G_{i-1}^{(v)}$  графа  $G_{n-1}^{(V)}$ ;

в) в качестве узлового графа для корня дерева  $T$  можно без ограничения общности выбрать двудольный граф  $G_0 = (X_0, Y, E_0)$ , где  $E_0 = \{(x_0, y_0), \dots, (x_0, y_5)\}$ , поскольку выбор для вершины  $x_0$  любого иного списка смежности приводит к графу, изоморфному  $G_0$ .

**3.2. Три правила сокращения узлов в дереве  $T$ .** С каждым порожденным на множестве вершин  $X_i \cup Y$  подграфом  $G_i^{(\omega)}$  графа  $G_{n-1}^{(V)}$  будем связывать термин «наследник узла  $v$ », где  $v$  – некоторый узел  $(i-1)$ -го уровня. Сформулируем условия, при которых наследник включается в дерево  $T$  и, таким образом, становится потомком некоторого узла  $v$  (более точно, его непосредственным потомком). Пусть построены все узлы  $v$  дерева  $T$  до  $(i-1)$ -го уровня включительно,  $i < n$ . Если в

узловом графе  $G_{i-1}^{(v)}$  все вершины некоторого подмножества  $Y' \subseteq Y$ : а) имеют степени меньше 3; б) обладают идентичными списками смежности, то подмножество  $Y'$  будем называть *предполем*, а предполе, не являющееся собственным подмножеством никакого другого предполя, будем называть *полем* (узла  $v$ ). Количество полей рассматриваемого узла  $v$  обозначим через  $N$ , поля – через  $F_1, \dots, F_N$ , их мощности – через  $l_1, \dots, l_N$ , индексы первых элементов полей – через  $s_1, \dots, s_N$ .

**Пример.** Для узлового графа  $G_{i-1}^v$ , изображенного на рис.3 слева,  $N = 4$ ,  $F_1 = \{y_1, y_2\}$ ,  $F_2 = \{y_3, y_4, y_5, y_6\}$ ,  $F_3 = \{y_7, y_8, y_9, y_{10}\}$ ,  $F_4 = \{y_{11}, y_{12}\}$ ,  $l_1 = 2$ ,  $l_2 = 4$ ,  $l_3 = 4$ ,  $l_4 = 2$ ;  $s_1 = 1$ ,  $s_2 = 3$ ,  $s_3 = 7$ ,  $s_4 = 11$ .

С точностью до изоморфизма наследник  $\omega$  узла  $v$  определяется количеством  $a_k$  вершин списка смежности вершины  $x_i$  узлового графа  $G_i^{(\omega)} = (X_i, Y, E_\omega)$ , принадлежащих полям  $F_k$ :

$$a_1 + \dots + a_N = 6, \quad (3.1)$$

$$0 \leq a_k \leq l_k; \quad k = 1, \dots, N. \quad (3.2)$$

Отсюда следует корректность следующего правила.

**Правило 1.** Из рассмотрения удаляются все наследники  $\omega$  узла  $v$  за исключением тех, для которых список смежности вершины  $x_i$  в графе  $G_i^{(\omega)}$  содержит точно  $a_k$  начальных вершин поля  $F_k$ ,  $k = 1, \dots, N$ ; таким образом, количество наследников, подлежащих дальнейшему рассмотрению, равно количеству наборов целых чисел, удовлетворяющих системе (3.1)–(3.2).

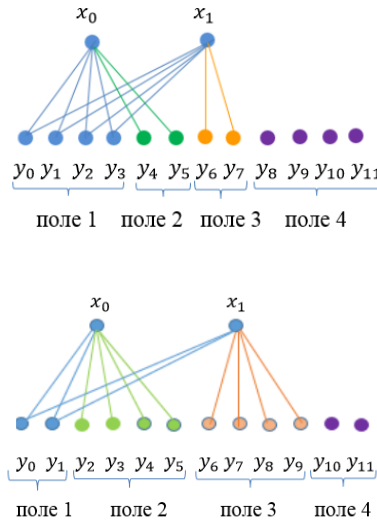


Рис. 3. Изображены два узла 1-го уровня:  $v$  и  $v'$ . Поля выделены.

Узловые графы, соответствующие наследникам одного и того же родительского узла, неизоморфны; однако узловые графы наследников разных узлов одного уровня могут оказаться изоморфными. Так, изображенные на рис. 4а и 4б наследники узлов 1-го уровня  $v$  и  $v'$ , чьи узловые графы изображены на рис.3, изоморфны.

**Правило 2.** Из наследников  $\omega$  узла  $v$ , удовлетворяющих правилу 1, для дальнейшего рассмотрения выбираются лишь те, у которых список смежности вершины  $x_i$  в графе  $G_i^{(\omega)}$  имеет не больше общих вершин с  $Y_5$ , чем список смежности вершины  $x_{i-1}$

в узловом графе родительской вершины  $v$ . В самом деле, данное правило равносильно требованию упорядочить вершины  $x_0, \dots, x_{n-1}$  по принципу невозрастания в их списках смежности количеств вершин, принадлежащих  $Y_5$ .



Рис. 4. Изоморфные наследники узлов  $v$  и  $v'$ , приведенных на рис.3.

**Правило 3.** Наследник  $\omega$  промежуточного уровня  $i$  ( $i < n - 1$ ), удовлетворяющий правилам 1-2, включить в дерево  $T$  в качестве потомка узла  $v$  лишь если в узловом графе  $G_i^{(\omega)}$  не менее шести вершин множества  $Y$  имеют степени меньше 3; легко видеть, что в противном случае достройка узлового графа  $G_i^{(\omega)}$  до  $(6, 3)_n$ -графа невозможна.

Для реализации правила 1 используется рекурсивная процедура MakeSplit ( $value, k, a, l, s, N$ ), где  $a$  и  $l$  – векторы из  $N$  целых неотрицательных и целых положительных чисел соответственно, которая по заданным  $value, N, l, s$  и  $k$  генерирует все разбиения заданного натурального  $value$  на слагаемые  $a_k + \dots + a_N$ , не превышающие соответствующих  $l_k, \dots, l_N$ .

#### Процедура MakeSplit ( $value, k, a, l, s, N$ )

если  $k = N$ , то begin  $a_k := value$ ; Добавление end {о процедуре Добавление см. ниже в п.4.3}

иначе

для  $j$  от  $\max(0, value - (a_{k+1} + \dots + a_N))$  до  $\min(value, l_k)$  выполнить  
begin  $a_k := j$ ; MakeSplit ( $value - j, k + 1, a, l, s, N$ ) end;

Конец процедуры

**3.3. Построение узлов очередного уровня дерева  $T$ .** Построение узлов очередного,  $i$ -го уровня дерева  $T$  выполняется следующим образом. Для графа  $G_{i-1}^{(v)}$  каждого узла  $v$  уровня  $i - 1$  определяется множество полей графа  $(N, l_1, \dots, l_N$  и  $s_1, \dots, s_N)$ , после чего вызовом MakeSplit ( $value, 1, a, l, s, N$ ), где значение фактического параметра  $value$  предварительно установлено в значение 6, генерируются разбиения числа 6, удовлетворяющие (3.1)- (3.2); затем для каждого из разбиений процедура Добавление проверяет соблюдение для графа  $G_i^{(\omega)}$  правил 1-3 и, в случае их соблюдения, добавляет  $\omega$  в дерево  $T$  в качестве потомка вершины  $v$ : количество узлов  $R$  в построенной части дерева  $T$  увеличивается на единицу, узлу с номером  $R$  приписывается граф  $G_i^{(\omega)}$ , после чего выполняются действия сопроводительного характера:  $i, N$ , номер родительского узла  $v$  и векторы  $a, l$  и  $s$  заносятся в соответствующие массивы с позиции  $R$ .

### **Заключение**

Предложенный алгоритм элиминации перебора свел задачу к построению дерева из 11645 узлов, из которых 2485 узлов – последнего уровня; узловые графы последнего уровня образуют искомое множество  $(6, 3)_6$ -графов  $M_0$ . Программа обнаружила среди них точно 62 нераскрашиваемых графа (включая изображенный на рис.2), а для  $n \leq 5$  выяснила раскрашиваемость всех графов из множеств – аналогов  $M_0$  для рассматриваемых  $n$ . Тем самым доказано и второе утверждение теоремы 1.

Область практического применения – оптимизация «школьного» расписания. Пусть рассматривается однодневное расписание учебных занятий:  $X$  – множество классов,  $Y$  – множество учителей, исходные данные к расписанию заданы  $(6, 3)$ -графом  $G = (X, Y, E)$  – каждому классу запланированы 6 уроков, а каждому учителю – 3 урока. Если цвету  $t \in \{1, \dots, 6\}$  каждого ребра  $(x_i, y_j) \in E$  соотнести номер академического часа – занятия  $j$ -го учителя в  $i$ -м классе, то задача о раскрашиваемости графа  $G$  преобразуется в задачу о существовании расписания длительности 6 без «окон» у учителей и классов.

### Список литературы

- [1] Свами М., Тхуласираман К. Графы, сети и алгоритмы. – М.: Мир, 1984. – 455 с.
- [2] Casselgren C.J. On Some Graph Coloring Problems // Doctoral Thesis No. 48. Department of Mathematics and Mathematical Statistics Umea University, 2011.
- [3] Магомедов А.М. К вопросу об условиях уплотнимости матрицы из 6 столбцов // Деп. в ВИНТИ, 1991.
- [4] Karp R.M. Reducibility among combinatorial problems // in R.E. Miller and J.W. Thatcher (eds.), Complexity of Computer Computations, Plenum Press, New York, 1972. P. 85–103.

**А. М. Магомедов (A. M. Magomedov)**

Дагестанский научный центр РАН

E-mail: [magomedtagir1@yandex.ru](mailto:magomedtagir1@yandex.ru)

Поступила в редакцию

20.11.2013